

# РАЗМЕРНОЕ КВАНТОВАНИЕ В ГЕТЕРОСТРУКТУРАХ GaAs/Al<sub>x</sub>Ga<sub>1-x</sub>As ПО ДАННЫМ СПЕКТРОСКОПИИ ФОТООТРАЖЕНИЯ

**Л.П. Авакянц, П.Ю. Боков, И.П. Казаков<sup>\*)</sup>, А.В. Червяков**

(кафедра общей физики)

E-mail: avakants@genphys.phys.msu.su

**Методом спектроскопии фотоотражения (ФО) исследованы эпитаксиальные гетероструктуры GaAs/Al<sub>x</sub>Ga<sub>1-x</sub>As с шириной квантовой ямы 10, 20 и 30 нм. При комнатной температуре в спектрах ФО наряду с линиями в области фундаментальных переходов GaAs (1.42 эВ) и Al<sub>x</sub>Ga<sub>1-x</sub>As (1.74 эВ) наблюдаются спектральные особенности, связанные с размерным квантованием в яме и расщеплением валентной зоны на подзоны тяжелых и легких дырок. Экспериментально полученные значения энергий уровней хорошо совпадают с теоретически рассчитанными в рамках модели огибающей волновой функции.**

## Введение

Методы модуляционной спектроскопии широко используются для исследования полупроводниковых структур и поверхности полупроводников [1–3]. Наибольшее распространение получили методы фото- и электроотражения, основанные на регистрации изменения коэффициента отражения  $R$  исследуемого образца под воздействием электрического поля. В случае фотоотражения модуляция  $R$  осуществляется изменением электрического поля в полупроводнике при генерации электронно-дырочных пар лазерным излучением. Преимуществами этого неразрушающего метода являются бесконтактность и высокая пространственная локальность. В данной работе этот метод используется для изучения эффектов размерного квантования в эпитаксиальных гетероструктурах GaAs/Al<sub>x</sub>Ga<sub>1-x</sub>As с различной шириной квантовой ямы (КЯ).

## Образцы

Исследуемые образцы были выращены методом молекулярно-лучевой эпитаксии на установке «ЦНА-25» в Центре молекулярно-лучевой эпитаксии Физического института им. П.Н. Лебедева РАН. Образцы выращивались на подложках GaAs с ориентацией (001), на которые последовательно наносились полуизолирующие слои: буферный слой GaAs (толщина 320 нм), барьер Al<sub>x</sub>Ga<sub>1-x</sub>As (толщина 20 нм), КЯ GaAs (толщина 10, 20 и 30 нм для образцов № 1, 2 и 3 соответственно), барьер Al<sub>x</sub>Ga<sub>1-x</sub>As (толщина 30 нм), защитный слой GaAs (толщина 5 нм). Относительная концентрация алюминия в тройном соединении лежала в пределах  $x = 20\text{--}0.24$ .

## Методика эксперимента

Регистрация спектров ФО проводилась на кафедре общей физики физического факультета МГУ

им. М.В. Ломоносова на установке, схема которой приведена на рис. 1. Свет от спектральной лампы 1 мощностью 30 Вт отражался от образца 2 и, пройдя через монохроматор 3 (МДР-6), попадал на фотоприемник 4 (фотодиод ФД-7К), сигнал с которого поступал на синхронный детектор 9 (Unipan B-232). На образец также направлялось излучение Не–Не лазера 5, которое модулировалось механическим прерывателем 6. Частота модуляции составляла 370 Гц. Часть лазерного излучения от светоделительной пластины 7 поступала на фотоприемник 8 и исполь-

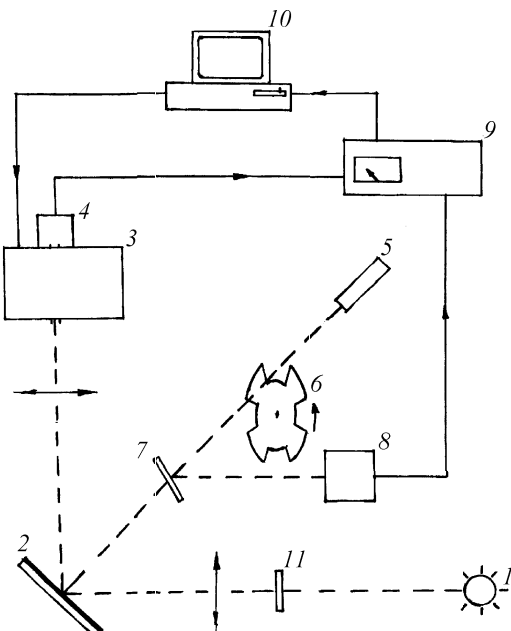


Рис. 1. Схема установки для регистрации спектров ФО: 1 — спектральная лампа, 2 — исследуемый образец, 3 — монохроматор МДР-6, 4 — фотодиод ФД-7К с фотоусилителем, 5 — Не–Не лазер (632.8 нм, 1 мВт), 6 — прерыватель, 7 — светоделительная пластина, 8 — фотоприемник канала синхронизации, 9 — фазочувствительный нановольтметр Unipan B-232, 10 — блок управления с компьютером, 11 — нейтральный фильтр

<sup>\*)</sup> Физический институт им. П.Н. Лебедева РАН.

зовалась для формирования опорного напряжения. Таким образом измерялось изменение коэффициента отражения  $R$  на частоте модуляции. Спектральная ширина щелей монохроматора составляла 1.0 мэВ. Управление монохроматором и регистрация спектра ФО осуществлялись с помощью микропроцессорного модуля сопряжения, подключенного к персональному компьютеру 10. Измерения проводились при комнатной температуре.

### Результаты эксперимента

Полученные спектры фотоотражения образцов № 1–3 приведены на рис. 2. В спектрах доминируют линии в областях 1.42 и 1.74 эВ, обусловленные фундаментальными переходами  $E_{01}$  GaAs и  $E_{02}$   $\text{Al}_x\text{Ga}_{1-x}\text{As}$  соответственно. С использованием полученного значения  $E_{02}$  для  $\text{Al}_x\text{Ga}_{1-x}\text{As}$  и учетом того, что в тройном соединении  $E_{02}$  зависит от концентрации  $x$  [4]:

$$E_{02}(300 \text{ K}, x) = (1.425 + 1.444 x) \text{ эВ},$$

была вычислена мольная доля алюминия. Для образцов № 1–2 эта величина составила  $0.216 \pm 0.004$ , для образца № 3 —  $0.231 \pm 0.005$ .

$dR/R$ , отн. ед.

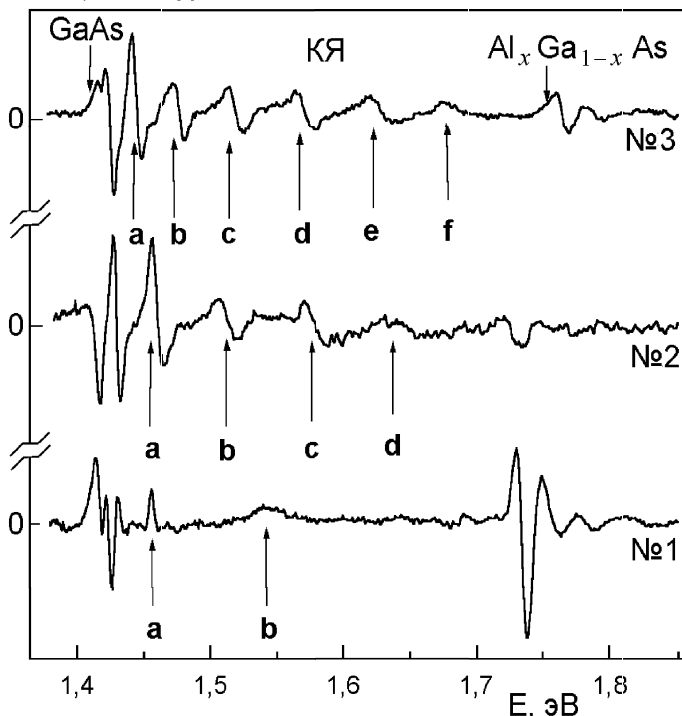


Рис. 2. Спектры фотоотражения образцов № 1–3. Буквами  $a-f$  обозначены особенности, связанные с эффектами размежного квантования в яме

Из спектров ФО (рис. 2) видно, что по мере увеличения ширины квантовой ямы наблюдается увеличение числа спектральных особенностей в области энергий между 1.42 и 1.74 эВ (обозначены буквами  $a-f$  на рис. 2). Это свидетельствует о том, что данные линии возникают вследствие переходов между уровнями валентной зоны  $E_v$  и зоны прово-

димости  $E_c$  квантовой ямы с учетом расщепления на подзоны тяжелых ( $hh$ ) и легких ( $lh$ ) дырок (рис. 3).

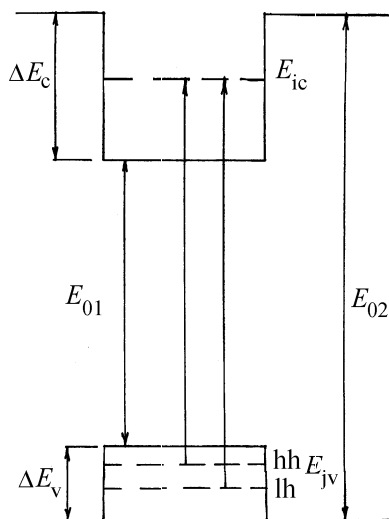


Рис. 3. Схема уровней энергии в квантовой яме:  $hh$  — подзона тяжелых дырок;  $lh$  — подзона легких дырок;  $E_{ic}$ ,  $E_{jv}$  — уровни размерного квантования в зоне проводимости и в валентной зоне;  $E_{01}$ ,  $E_{02}$  — энергии фундаментальных переходов в яме и барьере;  $\Delta E_c$ ,  $\Delta E_v$  — разрывы зон в гетеропереходе

Для расчета энергий уровней  $E_i$  в КЯ использовался метод огибающей волновой функции [5, 6].  $E_i$  вычислялось из трансцендентного уравнения

$$\sin \left( L_w \sqrt{\frac{m_1^* E_i}{2\hbar^2}} \right) - K \cos \left( L_w \sqrt{\frac{m_1^* E_i}{2\hbar^2}} \right) = 0,$$

где

$$K = \frac{1}{2} \left[ \sqrt{\frac{m_1^*(V - E_i)E_i}{m_2^*}} - \sqrt{\frac{m_2^* E_i}{m_1^*(V - E_i)}} \right],$$

здесь  $m_1^*$  — эффективная масса в яме GaAs,  $m_2^*$  — эффективная масса в барьере  $\text{Al}_x\text{Ga}_{1-x}\text{As}$  (значения эффективных масс взяты из [4]),  $V$  — глубина КЯ,  $L_w$  — ширина КЯ. Значение  $V$  в зоне проводимости считалось равным 65% от разницы энергий фундаментальных переходов  $E_{02} - E_{01}$  ямы и барьера [6] (см.  $\Delta E_c$  на рис. 3).

Для определения положения линий в спектре каждая из них аппроксимировалась формулой, соответствующей низкополевой модели Аспнеса [7]:

$$\frac{dR}{R}(E) = \text{Re} [A e^{i\varphi} (E - E_i + \Gamma)^{-m}],$$

где  $A$ ,  $\varphi$  — амплитудный и фазовый параметры,  $E$  — энергия зондирующего излучения,  $E_i$  — положение спектральной особенности,  $\Gamma$  — параметр уширения,  $m$  — величина, определяемая видом критической точки. Мы использовали значение  $m = 2$  [7].

Расчет показывает, что число возможных переходов для ям шириной 10, 20 и 30 нм составляет 12, 33 и 102 соответственно. На спектрах ФО (рис. 2) видно меньшее число линий. По-видимому, это связано не с перекрытием линий вследствие теплового

**Экспериментальные и теоретические значения энергий переходов в области КЯ, эВ.  
Погрешность определения экспериментальных значений составляет 5 мэВ**

Спектральные особенности	Образец №1		Образец №2		Образец №3	
	Эксперимент	Теория	Эксперимент	Теория	Эксперимент	Теория
$E_{01}$	1.410		1.414		1.416	
$a$	1.452	1.452 (1h1e)	1.454	1.433 (1h1e)	1.440	1.444 (2h2e)
$b$	1.537	1.529 (2l2e)	1.505	1.486 (4h2e)	1.473	1.472 (3h3e)
$c$			1.575	1.590 (3h3e)	1.517	1.512 (4h4e)
$d$			1.649	1.641 (3l3e)	1.570	1.562 (5h5e)
$e$					1.627	1.622 (6h6e)
$f$					1.678	1.688 (10h6e)
$E_{02}$	1.731		1.728		1.760	

уширения и флюктуацией ширины ямы, что делало бы невозможным наблюдение резких спектральных особенностей, а с существованием правил отбора. В работе [8] делается предположение, что наибольшей интенсивностью обладают линии с  $\Delta n = 0, 2$  ( $n$  — номер уровня в валентной зоне и зоне проводимости). Поэтому из большого количества комбинаций уровней для образцов № 2–3 мы выбирали те, для которых  $\Delta n = 0, 2$ . Кроме того, учитывалось [9], что вероятность переходов из подзоны легких дырок в 2–3 раза меньше вероятности переходов из подзоны тяжелых дырок. Рассчитанные таким образом значения энергий переходов находятся в хорошем согласии с результатами эксперимента (см. таблицу).

### Выводы

Особенности в спектрах ФО эпитаксиальных гетероструктур  $\text{GaAs}/\text{Al}_x\text{Ga}_{1-x}\text{As}$  с шириной квантовой ямы 10, 20 и 30 нм связаны с размерным квантованием в яме и расщеплением валентной зоны на подзоны тяжелых и легких дырок. Экспериментально полученные значения энергий уровней могут быть описаны в рамках модели огибающей волновой функции с учетом правил отбора  $\Delta n = 0, 2$ .

Следует отметить, что метод спектроскопии ФО позволяет наблюдать эффекты размерного кванто-

вания в полупроводниковых гетероструктурах при комнатной температуре.

Работа выполнена при частичной поддержке РФФИ (грант 01-02-17732).

### Литература

1. Pollak F.H. // SPIE Proc. 2000. **3944**. P. 408.
2. Qiang H., Pollak F.H., Huang Y.-S. et al. // SPIE Proc. 1994. **2139**. P. 11.
3. Hughes P.J., Weiss B.L., Hosea T.J.S. // J. Appl. Phys. 1995. **77**, No. 12. P. 6472.
4. Pavesi L., Guzzi M. // J. Appl. Phys. 1994. **75**, No. 10. P. 4779.
5. Варданян Б.Р., Чукичев М.В., Юнович А.Э. и др. // ФТП. 1994. **28**, № 2. С. 259.
6. Oelgart G., Orschel B., Andreani L.C. et al. // Phys. Rev. 1994. **B 49**, No. 15. P. 10456.
7. Aspnes D.E. // Surf. Sci. 1973. **37**. P. 418.
8. Jan G.-J., Hsu K.-T., Tseng P.-K. et al. // SPIE Proc. 1990. **1286**. P. 200.
9. Кузьменко Р., Ганжа А., Домашевская Э.П. и др. // ФТП. 2000. **34**, № 9. С. 1086.

Поступила в редакцию  
16.01.02